

## ЧИСЛЕННОЕ РЕШЕНИЕ ЗАДАЧИ СТЕФАНА

*Н.Г.Бураго, А.И.Федюшкин*

*Институт проблем механики им. А.Ю. Ишлинского РАН, Москва, Россия*

В работе описан алгоритм решения методом конечных элементов задачи Стефана для моделирования процессов кристаллизации методом Бриджмена с погруженным нагревателем-вибратором.

### Постановка задачи.

Течение расплава описывается уравнениями Навье-Стокса для несжимаемой жидкости в приближении Буссинеска:

$$\nabla \cdot \mathbf{u} = 0, \quad \rho_0 d\mathbf{u} / dt + \nabla p = \nabla \cdot (\rho_0 \nu \nabla \mathbf{u}) - \rho_0 g \beta (T - T_0) \mathbf{e}_z,$$

$$\rho_0 c_v dT / dt = \nabla \cdot (k_T \nabla T), \quad dC / dt = \nabla \cdot (D \nabla C)$$

где использованы традиционные обозначения. Задачи рассматривались в условиях осевой симметрии, поэтому граничные условия удобно записать в цилиндрической системе координат  $r, \theta, z$ , тогда  $u, v, w$  - радиальная, окружная и осевая проекции скорости. Состояние растущего кристалла подчинено следующим соотношениям:

$$u = 0, \quad w = 0, \quad v = \Omega_0 r, \quad \rho_0 c_v dT / dt = \nabla \cdot (k_T \nabla T), \quad dC / dt = 0$$

Расчетная область решения показана на рис. 1, где  $R = 3.36 \text{ cm}$  - радиус тигля,  $\delta = 0.1 \text{ cm}$  - размер зазора (3),  $h = 0.8 \text{ cm}$ ,  $S_{SH}$  - область погруженного нагревателя (1).  $T_m = 937^\circ \text{ C}$  - температура плавления германия,  $C$  - концентрация примеси галлия. На твердых стенках заданы условия прилипания,  $\Omega_{CR}$  - скорость вращения тигля (дно - кристалл (5) и вертикальные стенки тигля),  $\Omega_b$  - скорость вращения погруженного нагревателя (1).

Граничные условия принимались в следующем виде:

1) На оси симметрии:  $r = 0, 0 \leq z \leq H$  :  $u = 0, v = 0, \partial w / \partial r = 0, \partial T / \partial r = 0, \partial C / \partial r = 0$

2) На стенке тигля:  $r = R, 0 \leq z \leq h$  :  $u = 0, v = 0, w = 0, \partial T / \partial r = 0, \partial C / \partial r = 0$

$r = R, h < z \leq H$  :  $u = 0, v = 0, w = 0, T = T_{CR}(z), \partial C / \partial r = 0$

3) На границе кристалла:  $r = R$  :  $u = 0, v = 0, w = 0, k_T \partial T / \partial r = q_R^*(z, t), \partial C / \partial r = 0$

4) На основании кристалла:  $z = 0$  :  $u = 0, v = 0, w = 0, T = T_1, C = C_1$

5) На верхней границе:  $z = Z$  :  $\partial u / \partial z = 0, \partial v / \partial z = 0, \partial w / \partial z = 0, \partial T / \partial z = 0, C = C_2$

б) на границе расплав-кристалл  $z = \eta(r, t)$  ставились условия

Стефана:  $z = \eta(r, t): (T)_S = (T)_L = T_m(1 + \alpha_1(C)_L)$ ,  $(u)_S = (u)_L = (w)_S = (w)_L = 0$ ,

$(v)_S = (v)_L = 2\pi\Omega_0 r u_n \Delta H = (k_T \partial T / \partial n)_S - (k_T \partial T / \partial n)_L$ ,  $u_n(C)_L(1 - k_*) = (D \partial C / \partial n)_L$ ,

$(C)_S = k_*(C)_L$

где  $u_n$  - скорость распространения фронта кристаллизации  $z = \eta(r, t)$ ,  $\Delta H$  - скрытая теплота кристаллизации поглощаемая/выделяемая на фронте. В приведенных формулах индексы "S" и "L" отмечают твердую и жидкую фазы соответственно,  $\alpha_1$  коэффициент зависимости температуры отверждения/плавления от концентрации примеси в расплаве,  $k_*$  - коэффициент равновесного распределения (отторжения) примеси. Начальные условия имели вид:

$t = 0: u = 0, v = 0, w = 0, T = T^*(r, z), C = C^*(r, z)$ ,

$t = 0: \eta(r, 0) = z_0, T^*(r, z_0) = T_m C^*(r, z_0)$

### Метод решения.

Решение выполнено по явно-неявной схеме безматричного метода конечных элементов [1] с использованием подвижной конечно-элементной сетки. Подвижность узлов сетки обусловлена переменной геометрией области решения из-за движения межфазной границы расплав-кристалл. Новые положения узлов подвижной сетки рассчитывались по модели упругих сеток [1], поддерживая приближенное равенство объемов ячеек сетки. Узлы сетки, принадлежащие подвижной границе между расплавом и растущим кристаллом, двигались в соответствии с условиями Стефана.

Поскольку схема интегрирования уравнений по времени неявна по диффузионным членам, она устойчива при обычном условии Куранта по скорости конвекции

$\Delta t^n \leq \min(h_k^n / \max(|\mathbf{u}_k^n - \mathbf{w}_k^n|, 1e^{-6}))$ , где  $h_k^n$  - размер окрестности узла k,  $\mathbf{u}$  и  $\mathbf{w}$  -

скорости материальной и координатной сред. Расчет движения межфазовых границ реализован экономичным методом сквозного счета Самарского-Моисеенко [2].

Положение границы определялось из условия

$\Phi(r, z, t) = T(r, z, t) - T_m - \alpha_1 C(r, z, t) = 0$

Выделение/поглощение тепла при фазовом переходе учитывалось уравнением

$\rho_0 c_v dT / dt = \nabla \cdot (k_T \nabla T) - \Delta H \delta(\Phi) dT / dt$ .

При численной реализации дельта-функция аппроксимировалась выражением  $\delta(\Phi) = H(1 - |(\Phi)_i| / \Delta T_m) / (2.0 \Delta T_m)$

Проверка алгоритмов сделана путем расчета известных тестовых задач Валь Девиса [3] и Вилера [4] о течении расплава в методе Чохральского.

## Результаты расчета.

На Рис. 1 показаны результаты моделирования гидродинамики расплава и теплообмена при выращивании монокристаллов арсенида галлия вертикальным методом Бриджмена с погруженным вибратором. Схема расчетной области изображена на рис. 1а. Результаты решения задачи Стефана с определением формы фронта кристаллизации  $\text{NaNO}_3$  показаны на рис. 1б, и рис. 1в. Представлены изолинии функции тока и форма фронта кристаллизации при отсутствии вибраций погруженного вибратора (рис. 1б) и с вибрациями (на рис. 1в представлены изолинии функции тока осредненного течения). Вибрации позволяют форму фронта кристаллизации сделать более плоской, что показывает сравнение рис. 1б и рис. 1в. Вибрации задавались в виде гармонической функции времени для перемещения или скорости на заданной границе или на погруженном вибраторе. Предполагается, что погруженный вибратор либо кристалл совершают колебательные движения по закону:  $z = A \cos(2\pi ft)$  с частотой  $f$  и малой амплитудой  $A$ . Амплитуды вибраций были постоянными со значениями в диапазоне от 0 до 400 мкм, а частоты были в диапазоне от 0 до 100 Гц.

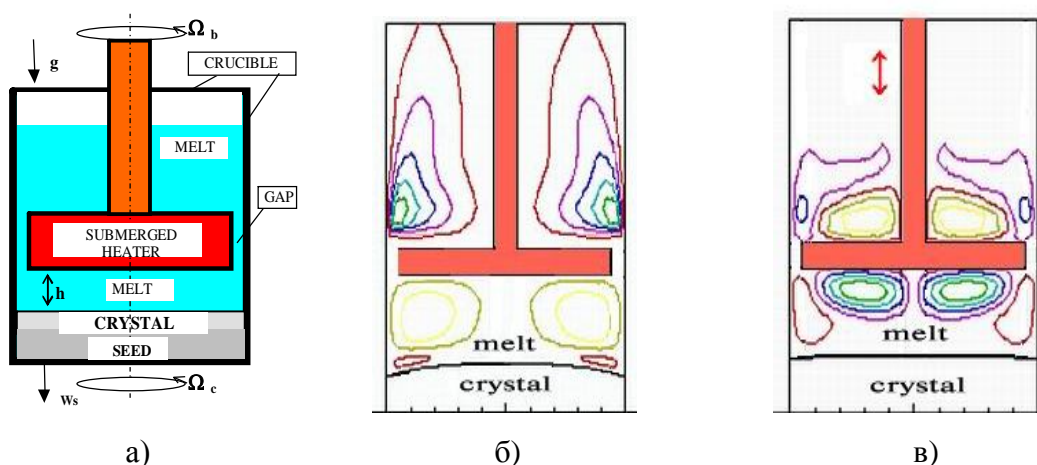


Рис. 1. а) Область решения. Форма фронта кристаллизации:  
б) без вибраций, в) с вибрациями.

Работа выполнена при финансовой поддержке государственных программ АААА-А20-120011690132-4 и АААА-А20-120011690131-7.

1. Бураго Н.Г., Никитин И.С., Якушев В.Л. Гибридный численный метод решения нестационарных задач механики сплошной среды с применением адаптивных наложенных сеток. Журнал вычислительной математики и математической физики. 2016. т. 56. N6. С. 1082-1092. DOI: 10.7868/S0044466916060107.
2. Самарский А.А., Моисеенко Б.Д. Экономичная схема сквозного счета для многомерной задачи Стефана. Журнал вычислительной математики и математической физики, 1965, т.5, N5. С. 816-827.
3. Davis de Vahl G. and Jones I. P. Natural convection in square cavity: A comparison exercise. Intern. J. Numer. Meth. Fluids. 3, 227 (1983)
4. Wheeler A. A. Four test problems for the numerical simulation of flow in Chochralski crystal growth, J. Crystal Growth, 99, 910 (1990)